

МЕТОД РЕШЕНИЯ НЕЛИНЕЙНЫХ НЕСТАЦИОНАРНЫХ ЗАДАЧ ТЕОРИИ КАВИТАЦИОННЫХ ТЕЧЕНИЙ ИДЕАЛЬНОЙ ЖИДКОСТИ

Э.Л.Амромин

Задачи теории потенциала, в которых на границе области его определения или же на ее части ставятся условия, вследствие чего эта часть является заранее неизвестной (свободной), имеются в различных разделах физики: гидродинамике [1], механике грунтов [2], электродинамике и физике плазмы [3,4] и пр. Возникающие при решении таких математически однотипных нелинейных краевых задач вычислительные трудности столь существенны, что для описания даже заведомо нестационарных процессов зачастую используются стационарные приближения. В настоящей работе предлагается специфический метод решения нестационарных задач теории потенциала для областей со свободными границами и на примере наиболее традиционных (со времен Кирхгофа) для этого раздела математической физики расчетов кавитационного (струйного) обтекания тел производятся демонстрация и обсуждение этого метода.

При обычных предположениях об отсутствии неконсервативных сил в идеальной несжимаемой жидкости, обтекающей тело с каверной, о постоянстве давления в ней и непроницаемости ее границы расчет нестационарного кавитационного течения сводится к решению последовательности параметрически зависящих от времени t краевых задач

$$\Delta\Phi = 0; \quad (\nabla\Phi, N) + V|_S = 0, \quad (1), (2)$$

$$(\nabla\Phi, \nabla\Phi) - 2 \frac{\partial\Phi}{\partial\tau} \Big|_{S_k} = 1 + \sigma; \quad \lim_{|x| \rightarrow \infty} \nabla\Phi = \{-1, 0, 1\} \quad (3), (4)$$

для отнесенного к скорости движения тела U и к его характерному размеру C потенциала скорости Φ . Здесь $\tau = tU_0/C$, U_0 — начальное значение U , S_k — граница каверны, S — совокупность S_k смоченной поверхности обтекаемого тела S_T и поверхности S_f замыкающего каверну фиктивного тела [1,5]. Скорость V равна нулю на недеформируемой поверхности тела, а на остальной части S , где заранее неизвестны не только производные Φ , но и компоненты N , определяется по перемещениям во времени точек границы.

Сходство стационарной задачи теории потенциала, в которой $V = 0$, $\partial\Phi/\partial\tau = 0$, с задачей (1)–(4) столь велико, что наиболее известные методы нестационарной теории до последнего времени являлись лишь адаптацией эффективных методов расчета стационарных струйных течений. Так, описанные в [1] работы Кармана и Гильбарга опираются на классические методы плоскости годографа скорости, метод [6] — на последовательную квазилинеаризацию типа [5], и т.д.; но выявились существенные ограничения на использование таких известных подходов для расчетов нестационарной задачи при произвольной форме S_T , и эти ограничения будут здесь обсуждены на относительно простых примерах.

Трудности применения к подобным расчетам методов, основанных на использовании плоскости годографа скорости, можно уяснить даже на

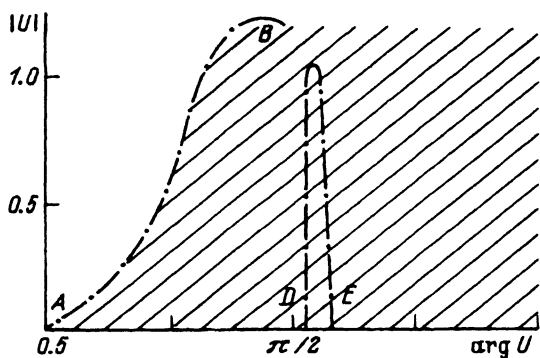
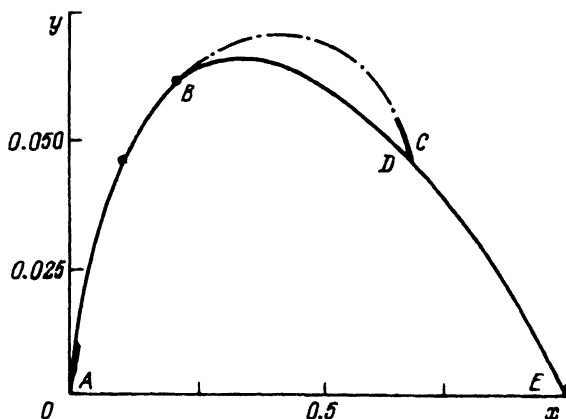


Рис. 1.

более простых стационарных примерах. Основное достоинство таких методов — возможность преобразования заранее неизвестной области в физической плоскости в известную область в плоскости параметрической. Так, внешность пластинки с каверной, замыкаемой по схеме Рябушинского, в обращенных переменных $\{|v|, \arg(v)\}$ отображается на внешность прямоугольника. Для тел, имеющих участки сильно изменяющейся кривизны (например, для представленного на верхней части рис. 1 крылового профиля Геттинген-411 с каверной), изображением потока в указанных обращенных переменных будет внешность заштрихованной на нижней части рис. 1 области (образцы и изображения одних и тех же точек отмечены в обеих плоскостях одними и теми же буквами). При отыскании этой области классическими методами [1] начальным приближением к ее границам будет прямоугольник, что делает само отыскание по меньшей мере затруднительным. Для нестационарных задач положение дополнительно осложняется тем, что S_k в параметрической плоскости не переходит в отрезок. Описанные трудности существенно не изменяются при замене одних обращенных переменных на другие, и представленные на рис. 1 результаты получены методом, описанным в [5].

В основе методов [3–6] — то обстоятельство, что в физической плоскости не так уж трудно подобрать удовлетворительное начальное при-

ближение S^* для столь гладкой границы, как кривая S_k с хордой длины L . Для него должны выполняться условия

$$\left| \frac{U^{*2}}{1 + \sigma} - 1 \right| \ll 1, \quad |h| \ll C, \quad |(N, N^*) - 1| \ll 1.$$

Здесь $U^* = |\text{grad } \Phi|$ определяется на S^* из задачи (1), (2), (4); h — откладываемое вдоль N^* расстояние между S^* и S_k ; N^* — орт нормали к S^* . Для уменьшения невязки в условии постоянства давления на S^* описанным в [4,6] способом квазилинеаризуются граничные условия (2), (3). В стационарном случае они принимают вид

$$\frac{\partial \varphi}{\partial N^*} + \frac{\partial h U^*}{\partial T^*} = 0, \quad \frac{\partial \varphi}{\partial T^*} + \alpha_1 \varkappa h U^* = \alpha_2 \frac{U^{*2} - 1 - \sigma}{2U^*}. \quad (5), (6)$$

Здесь $h(x_0) = 0$; T^* — орт касательной к S^* ; \varkappa — ее продольная кривизна; потенциал простого слоя [7], φ — возмущения Φ плотности q , отличной от нуля лишь на S_k ; x_0 — абсцисса точки стыковки S_k и S_T (точки схода струй). Теоретически $\alpha_1 = 1$, $\alpha_2 = 1$, но опыт вычислений показал, что сходимость приближений наилучшим образом обеспечивается при $\alpha_1 = 0$, $\alpha_2 < 0.5$. Откорректированный наращиванием на h поверхность отождествляется с S_k при проверке условия (3), и если оно еще не выполняется с заданной точностью, то операция вычисления h , U^* и проверки (3) повторяются снова.

Эффективность вышеописанной версии метода [5] для различных плоских и осесимметричных стационарных задач оказалась весьма высокой, а чувствительность к выбору начального приближения низкой. Например, для нанесенной кривой $2, a$ на рис. 2 границы каверны на теле вращения в струе гребного винта при $\sigma = 0.5$ начальным приближением была кривая 2 — граница каверны той же длины в неограниченном потоке, которой соответствует $\sigma = 0.06$. То обстоятельство, что при вычислении наряду с границей каверны приходилось уточнять еще и форму струи, представленной кривой 1 , с помощью соотношения, подобного (5), не препятствует их сходимости; просто близлежащие свободные границы следует корректировать поочередно, учитывая их взаимное влияние лишь при вычислении U^* из задачи (1), (2), (4) для S^* .

Адаптация метода [5] к нестационарным задачам приводит к необходимости задавать L , а не σ , и к замене (5), (6) на

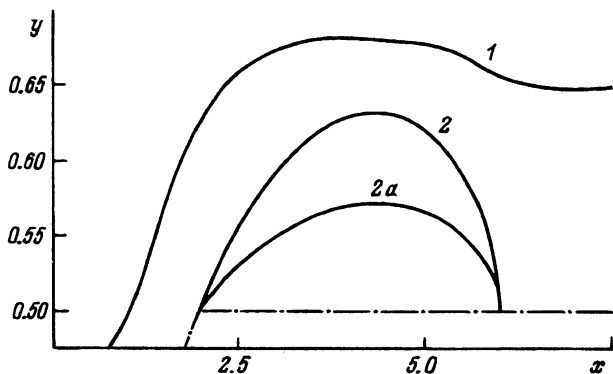


Рис. 2.

$$\alpha_3 \frac{\partial \varphi}{\partial T^*} U^* + \alpha_4 \frac{\partial \varphi}{\partial \tau} = \alpha_2 \left(\frac{U^* - 1 - \sigma}{2} - \frac{\partial \Phi}{\partial \tau} \right), \quad (7)$$

$$\frac{\partial \varphi}{\partial N^*} + \frac{\partial h U^*}{\partial T^*} + \frac{h}{\tau^*} = 0. \quad (8)$$

Здесь τ^* — шаг по времени и, строго говоря, $\alpha_3 = \alpha_4 = 1$. Эта адаптация связана с двумя трудностями. Во-первых, в нестационарном случае редко имеется характерное для большинства стационарных задач взаимнооднозначное соответствие σ и L . Это иллюстрируют приведенные на рис. 3 результаты расчетов каверн за диском в однородном неограниченном потоке: там кривая 1 — отношение объема каверны к $4\pi C^3$, 2 — значения величины $10\sigma + 2$, характеризующей режим изменения числа кавитации, 3 — отношение L к C , 4 — $5B/L$, где B — ширина каверны. Попытка [6] сохранить прием фиксации L для нестационарных задач, подбирая по L соответствующие значения σ , оказалась вполне успешной только для режимов с монотонным изменением $\sigma(\tau)$. Во-вторых, полученные квазилинеаризацией (2), (3) без учета соотношения малых величин h и τ^* уравнения (7), (8) при $\tau^* \ll 1$ содержат члены разных порядков, что препятствует устойчивости счета.

Перечисленные трудности привели к необходимости дальнейших модификаций метода [5,6], которые описываются ниже. Первая из них позволяет задавать σ , а не L . Не связанная именно с нестационарностью, она также может быть продемонстрирована и для стационарных задач. Так как (6) — сингулярное интегральное уравнение относительно q , то требовать $q(x_0) = q(x_0 + L) = 0$ возможно лишь при выполнении известного в теории сингулярных уравнений условия на их правые части. Из такого условия в [5] и отыскивается σ при $L = \text{const}$. Поскольку условия $h(x_0) = 0$ и $h(x_0 + L) = 0$ формально равноправны, то (5) можно интегрировать с любого конца S . Если же перед этим искать два различных q :

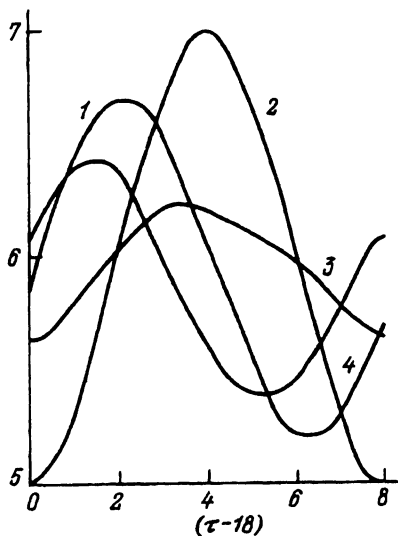


Рис. 3.

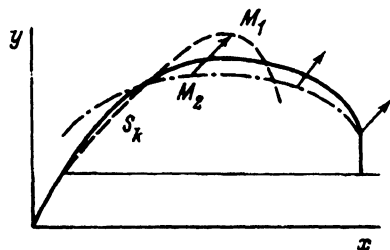


Рис. 4.

для передней части S , удовлетворяющее $q(x_0) = 0$, $|q(L + x_0)| \rightarrow \infty$, а для задней — $|q(x_0)| \rightarrow \infty$, $q(x_0 + L) = 0$, то σ можно задавать заранее, а к сингулярному уравнению не потребуются упомянутых условий. Построенные по двум решениям формы S будут разными, их мидели могут иметь различные абсциссы и ординаты. Поэтому к следующей итерации заднюю часть S_k (штриховая линия на рис. 4) надо подтянуть к передней (штрихпунктир), совместив мидели (точки M_1 и M_2) и сдвинув заднюю часть S_k так, как показано стрелками на схеме.

Вторая модификация направлена на то, чтобы квазилинеаризованные условия (7), (8) не содержали слагаемых разных порядков. Для этого на каждой итерации надо полагать либо $\alpha_3 = 0$, либо $\alpha_4 = 0$. Случай $\alpha_4 = 0$ сводится к стационарному, отличаясь от него лишь выражением для невязки в (6). При $\alpha_3 = 0$ уравнение (7) вырождается в

$$\varphi = \frac{\alpha_2}{\alpha_4} f \tau^*. \quad (9)$$

Вид функции f ясен из (7). Если, как и в (6), искать φ в (9) в виде потенциала простого слоя, то (9) станет уравнением Фредгольма первого рода, а нахождение его достаточно гладких решений окажется весьма затруднительным. Поэтому φ при $\alpha_3 = 0$ ищется в виде потенциала двойного слоя плотности μ . Обозначив правую часть (9) через F и учитывая что (1), (9) соответствуют внешней задаче Дирихле для потенциала φ , ищут μ из интегрального уравнения [7]

$$\mu \pi + \int_{(S_k)} \mu \frac{\partial}{\partial n} \left(\ln \left| \frac{1}{r} \right| \right) dS + \int_{S_k} \mu dS = F. \quad (10)$$

Здесь r — расстояние от контрольной до произвольной точки S_k , n — нормаль к S_k в ней. Затем производятся преобразования (8): во-первых, используя непрерывность производной по n [7] от суммы $\varphi(\mu) + \partial\Psi/\partial n(\mu)$, где Ψ — потенциал простого слоя, выражают $\partial\varphi/\partial n$ через $\partial^2\Psi/\partial n^2$; во-вторых, используя гармоничность Ψ и опуская пропорциональные x члены в $\partial\Psi/\partial T^*$, уравнения для определения h приводят к виду

$$U^* h + \int_{l(x_i)}^{l(x)} \frac{h}{\tau^*} dl = \frac{1}{2\pi} \int_{l(x_0)}^{l(x_1)} \mu \left(\frac{1}{l-x_i} - \frac{1}{l-x} \right) dl; \quad i = 0; 1; x_1 = x_0 + L. \quad (11)$$

Сращивание двух решений этого уравнения производится также на миделе S_k .

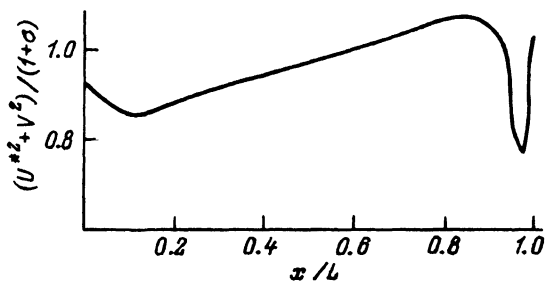


Рис. 5.

Итак, для каждого нового момента времени сначала h вычисляется по правилу $h = V\tau^*$, а потом форма S уточняется с помощью (7), (8) и (9)–(11) поочередно. Именно так получены приведенные на рис. 3 результаты для течения с периодическими и заметно сдвинутыми по фазе характеристиками и показанное на рис. 5 типичное распределение $\partial\Phi/\partial\tau$ вдоль S_k .

Несмотря на показанный выше некоторый прогресс в решении нестационарных нелинейных задач, в их теории остаются многочисленные проблемы. Для кавитационных течений, в частности, не ясно, следует ли в нестационарном случае из принципа Бриллюэна условие Бриллюэна-Вилля [1] для точек схода струй на телах с плавно изменяющейся кривизной поверхности. Далее, в ходе эволюции свободных границ в нестационарном потоке на них часто появляются вогнутые участки. Как следует из [8], этот эффект не связан с погрешностями приближенных вычислений: схожие аномалии получались в [8] и при аналитическом решении одной нестационарной задачи. В численном методе эти аномалии настолько затрудняют сходимость итераций, что зачастую не удается продолжить счет для столь больших промежутков времени, чтобы можно было сопоставить расчет и опыт, и, видимо, в местах потери выпуклости надо вводить такие же схемы замыкания, как и в хвосте каверны.

Кроме того, отсутствующее здесь сопоставление расчетов и опытов потребовало бы пересчета результатов наблюдений в гидродинамических трубах на неограниченный поток. В стационарных кавитационных течениях такой пересчет основан на точном или приближенном [5,9] решении задач типа (1)–(4) для труб или каналов неограниченной длины; но этот подход не удается скопировать в нестационарном случае, поскольку изменение объема каверны в заполненной несжимаемой жидкостью трубе индуцирует незатухающие по всей ее длине возмущения скорости, что приводит к нефизичному неограниченному росту потенциала вызванной скорости и давления с удалением от каверны.

Однако указанные трудности лишь затрагивают вопрос об адекватности математической теории частным экспериментом и не связаны с особенностями предлагаемого расчетного метода, который может быть рекомендован для использования в различных разделах физики.

Список литературы

- [1] Гуревич М.И. Теория струй идеальной жидкости. М.: Наука, 1961.
- [2] Ильинский Н.Б., Поташев А.В. // Тр. семинара по краевым задачам. Казань, 1979. С. 81–88.
- [3] Амромин Э.Л., Капорская Г.Н., Новгородцев А.Б. и др. // Электричество. 1989. № 3. С. 40–46.
- [4] Амромин Э.Л. // ЖТФ. 1992. Т. 62. Вып. 2. С. 176–179.
- [5] Иванов А.Н. Гидродинамика развитых кавитационных течений. Л.: Судостроение, 1980.
- [6] Амромин Э.Л., Бушковский В.А. // ПММ. 1985. № 6. С. 1032–1035.
- [7] Мизлин С.Г. Курс математической физики. М.: Наука, 1968.
- [8] Кузнецов А.В., Тропольская О.В. // Тр. семинара по краевым задачам. Казань, 1988. С. 153–170.
- [9] Карликов В.П., Хомяков А.Н., Шоломович. // Изв. АН СССР. МЖГ. 1987. № 2. С. 73–81.

Центральный научно-исследовательский
институт им. А.Н.Крылова
Санкт-Петербург

Поступило в Редакцию
20 апреля 1992 г.
В окончательной редакции
4 ноября 1992 г.